

## О ЗОНАХ СВЕРХПЛАСТИЧНОСТИ ПРИ ПРОКАТКЕ АЛЮМИНИЕВОГО ЛИСТА

*Д.А. Китаева, Е.А. Субботина, Л.И. Васильев*

*Санкт-Петербургский Государственный Политехнический Университет, Россия,  
Кыргызско-Российский Славянский Университет, Бишкек, Кыргызская Республика, lina-bishkek@mail.ru*

## ABOUT SUPERPLASTICITY ZONES WHEN ROLLING ALUMINIUM SHEET

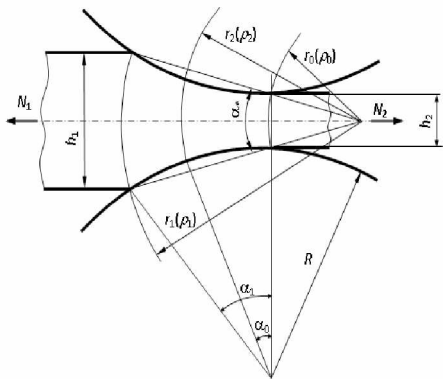
*D.A. Kitaeva, E.A. Subbotina, L.I. Vasilyev*

*\*St. Petersburg State Polytechnical University, Russia,*

*\*\*Kyrgyz-Russian Slavic University, Bishkek, Kyrgyz Republic, lina-bishkek@mail.ru*

*Двумерная задача прокатки тонколистового алюминиевого сплава в термических диапазонах сверхпластичности решается с привлечением динамической. Показано, что обжатие полосы зависит от физико-математических и геометрических характеристик процесса прокатки, включая условие на контакте прокатываемой полосы и валков.*

*The two-dimensional problem of rolling of a thin-sheet aluminum alloy in the thermal ranges of superplasticity is solved with attraction of the dynamic. It is shown that sinking of a strip depends on physical and mathematical and geometrical characteristics of process of rolling, including a condition on contact of a rolled strip and rolls.*



*Рис. 1. К постановке задачи*

**1. Постановка задачи.** Рассмотрим задачу определения энергосиловых, термических и кинематических параметров процесса продольной прокатки алюминиевой полосы без уширения. Предполагая, что при прокатке угол захвата валков малый, для решения задачи может быть привлечено [1,2] исследование течения материала в клиновидном сходящемся канале с углом при вершине  $\alpha_1$  (рис.1).

Считается, что процесс прокатки реализуется в изотермических условиях в диапазоне температур, не выходящих за термический интервал сверхпластичности промышленных алюминиевых сплавов [3].

Введем цилиндрическую систему координат  $\rho$   $\alpha$   $z$ , причем начало координат разместим в вер-

шине клина.

Математическая формулировка задачи включает:

– дифференциальные уравнения равновесия

$$\frac{\partial \sigma_\rho}{\partial \rho} + \frac{1}{\rho} \frac{\partial \tau_{\rho\alpha}}{\partial \alpha} + \frac{\sigma_\rho - \sigma_\alpha}{\rho} = 0; \quad \frac{\partial \tau_{\rho\alpha}}{\partial \rho} + \frac{1}{\rho} \frac{\partial \sigma_\alpha}{\partial \alpha} + \frac{2\tau_{\rho\alpha}}{\rho} = 0; \quad (1.1)$$

– кинематические соотношения

$$\dot{\varepsilon}_\rho = \frac{\partial v_\rho}{\partial \rho}; \quad \dot{\varepsilon}_\alpha = \frac{v_\rho}{\rho}; \quad \dot{\gamma}_{\rho\alpha} = \frac{1}{\rho} \frac{\partial v_\rho}{\partial \alpha}; \quad (1.2)$$

– условие несжимаемости в скоростях

$$\dot{\varepsilon}_\rho + \dot{\varepsilon}_\alpha = 0; \quad (1.3)$$

– определяющие соотношения в виде уравнений теории упругопластических процессов малой кривизны [4]

$$\sigma_\rho - \sigma_0 = \frac{2\sigma_u}{3\dot{\varepsilon}_u} \dot{\varepsilon}_\rho; \quad \sigma_\alpha - \sigma_0 = \frac{2\sigma_u}{3\dot{\varepsilon}_u} \dot{\varepsilon}_\alpha; \quad (1.4)$$

$$\tau_{\rho\alpha} = \frac{\sigma_u}{3\dot{\varepsilon}_u} \dot{\gamma}_{\rho\alpha}; \quad 3\sigma_0 = \sigma_\rho + \sigma_\alpha;$$

– уравнение состояния [3] в форме зависимости интенсивности напряжений от интенсивности скоростей деформаций

$$\sigma_u = 1 - m_0 - \beta + (3m_0 + \beta)\varepsilon_u - 3m_0\dot{\varepsilon}_u^2 + m_0\dot{\varepsilon}_u^3. \quad (1.5)$$

Здесь  $\sigma_{ij}, \dot{\varepsilon}_{ij}$  – составляющие тензоров напряжений и скоростей деформаций, отнесенные соответственно к альтернативным внутренним параметрам состояния  $\sigma^*, \dot{\varepsilon}^*$ , вектор скорости радиального перемещения  $v_\rho$ , отнесен к величине  $\dot{\varepsilon}^* b$ , где  $b$  – ширина листа, все линейные размеры считаются поделенными на величину  $b$  ( $\rho = r/b; l = \bar{l}/b$ ),  $m_0$  – постоянная материала,  $\beta = \beta(\xi)$ , где  $\xi$  – приведенная температура [3].

Граничные условия сформулированы в процессе решения задачи.

**2. Кинематика процесса деформации полосы в термическом диапазоне сверхпластичности.** Установлено [5], что составляющие напряжений, скоростей перемещений и деформаций будут определены при известном явном виде разрешающей функции  $k = k(\alpha)$ , для которой получено

$$k(\alpha) = \frac{v_1 h_1}{\bar{\psi}} (\psi - \cos 2\alpha); \quad (2.1)$$

где  $v_1, h_1$  – скорость перемещения и толщина полосы на входе в очаг деформации; функции  $\psi = \psi(\alpha_1, \chi), \bar{\psi} = \bar{\psi}(\alpha_1, \chi)$  определяются формулами

$$\psi(\alpha_1, \chi) = \frac{\sqrt{1 - \chi^2}}{\chi} \sin \alpha_1 - \cos \alpha_1; \quad (2.2)$$

$$\bar{\psi} = \frac{\alpha_1 h_1}{\psi \alpha_1 - \sin \alpha_1}; \quad (2.3)$$

причем  $\alpha_1$  – угол захвата;  $\chi$  – коэффициент пропорциональности, определяемый экспериментально [2].

При известном  $k = k(\alpha)$  имеем:

– скорость радиального перемещения

$$v_\rho = \frac{\nu_1 h_1}{\bar{\psi} \rho} (\psi - \cos 2\alpha); \quad (2.4)$$

– функции  $\rho_1(\alpha)$ ,  $\rho_2(\alpha)$ , ограничивающие в радиальном направлении очаг пластической деформации

$$\rho_1(\alpha) = h_1 \frac{2\psi\alpha - \sin 2\alpha}{2\bar{\psi} \sin \alpha}; \quad \rho_2(\alpha) = (1 - \Lambda) h_1 \frac{2\psi\alpha - \sin 2\alpha}{2\bar{\psi} \sin \alpha}; \quad (2.5)$$

– скорости деформаций

$$\begin{aligned} \dot{\varepsilon}_\rho &= -\frac{\nu_1}{\rho^2 \bar{\psi}} (\psi - \cos 2\alpha); \\ \dot{\varepsilon}_\alpha &= \frac{\nu_1}{\rho^2 \bar{\psi}} (\psi - \cos 2\alpha); \end{aligned} \quad (2.6)$$

$$\dot{\gamma}_{\rho\alpha} = \frac{2\nu_1}{\rho^2 \bar{\psi}} \sin 2\alpha.$$

где  $\Lambda$  – обжатие полосы.

Компоненты тензора напряжений получены интегрированием уравнений равновесия с привлечением зависимости (2.1) и представляются в виде

$$\begin{aligned} 3\sigma_\rho &= (1 - m_0 - \beta)L^{-\frac{1}{2}} \left( \frac{k'L'}{2L} - k'' + 4k \right) \ln \frac{\rho}{\rho_2} - 4(1 - m_0 - \beta)L^{-\frac{1}{2}} k - \\ &- \frac{3m_0 + \beta}{2} \left( \frac{1}{\rho_2^2} - \frac{1}{\rho^2} \right) (k'' - 4k) - \frac{4(3m_0 + \beta)}{\rho_2^2} k + \frac{3}{4} m_0 \left( \frac{1}{\rho_2^4} - \frac{1}{\rho^4} \right) \left( \frac{k'L'}{2L} + k'' - 4k \right) L^{\frac{1}{2}} + \\ &+ \frac{12m_0 L^{\frac{1}{2}}}{\rho_2^4} k - \frac{m_0}{6} \left( \frac{1}{\rho_2^6} - \frac{1}{\rho^6} \right) \left( \frac{k'L'}{L} + k'' - 4k \right) L - 4m_0 L \frac{k}{\rho_2^6}; \\ 3\sigma_\alpha &= (1 - m_0 - \beta)L^{-\frac{1}{2}} \left[ \left( \frac{k'L'}{2L} - k'' + 4k \right) \ln \frac{\rho}{\rho_2} \right] - \frac{3m_0 + \beta}{2} (k'' + 4k) \left( \frac{1}{\rho_2^2} - \frac{1}{\rho^2} \right) + \\ &+ \frac{3}{4} m_0 L^{\frac{1}{2}} \left( \frac{k'L'}{2L} + k'' + 12k \right) \left( \frac{1}{\rho_2^4} - \frac{1}{\rho^4} \right) - \frac{m_0}{6} L \left( \frac{k'L'}{2L} + k'' + 8k \right) \left( \frac{1}{\rho_2^6} - \frac{1}{\rho^6} \right); \quad (2.7) \\ 3\tau_{\rho\alpha} &= k' \left[ (1 - m_0 - \beta)L^{-\frac{1}{2}} + \frac{3m_0 + \beta}{\rho^2} - \frac{3m_0}{\rho^4} L^{\frac{1}{2}} + \frac{m_0}{\rho^6} L \right]. \end{aligned}$$

В формулах (2.7) положено

$$\begin{aligned} k'(\alpha) &= -\frac{2\nu_1 h_1}{\bar{\psi}} \sin 2\alpha; \quad k'' = \frac{4\nu_1 h_1}{\bar{\psi}} \cos 2\alpha; \\ L(\alpha) &= \frac{1}{4} (4k^2 + k'^2) = \frac{4}{3} \frac{\nu_1^2 h_1^2}{\bar{\psi}^2} (1 + \psi^2 - 2\psi \cos 2\alpha); \end{aligned} \quad (2.8)$$

$$L'(\alpha) = \frac{16}{3} \frac{\nu_1^2 h_1^2}{\bar{\psi}^2} \psi \sin 2\alpha.$$

**3. Геометрические параметры процесса прокатки.** Естественным представляется предположить, что на входе и выходе из очага деформации продольные усилия обращаются в ноль. Такому утверждению соответствуют равенства

$$N_1 = 2 \int_0^{\frac{\alpha_1}{2}} \sigma_\rho \Big|_{\rho=\rho_1} dA = 0;$$

$$N_2 = 2 \int_0^{\frac{\alpha_1}{2}} \sigma_\rho \Big|_{\rho=\rho_2} dA = 0,$$
(3.1)

где  $N_1, N_2$  – продольные усилия, приходящиеся на единицу ширины полосы,  $dA = \rho d\alpha$ .

Второе условие (3.1) после подстановки в него первой формулы (2.7) при  $\rho = \rho_2$  и несложных преобразований позволяет получить кубическое уравнение вида

$$a_0 + a_1\mu + a_2\mu^2 + a_3\mu^3 = 0.$$
(3.2)

Здесь  $\mu$  является параметром, обобщающие скоростной и геометрический факторы процесса прокатки и определяемый выражением

$$\mu = \frac{\nu_1 \bar{\Psi}}{h_1 (1 - \Lambda)^2},$$
(3.3)

где коэффициенты уравнения (3.2) являются функциями угла захвата и равны

$$a_0 = \frac{\sqrt{3}}{2} (1 - m_0 - \beta) J_0(\alpha_1); \quad a_1 = (3m_0 + \beta) J_1(\alpha_1);$$

$$a_2 = -2\sqrt{3} m_0 J_2(\alpha_1); \quad a_3 = \frac{4}{3} m_0 J_3(\alpha_1),$$
(3.4)

причем

$$J_0(\alpha_1) = \int_0^{\frac{\alpha_1}{2}} H_1(\alpha) H_2(\alpha) H^{-\frac{1}{2}}(\alpha) d\alpha; \quad J_2(\alpha_1) = \int_0^{\frac{\alpha_1}{2}} H_1(\alpha) H^{\frac{1}{2}}(\alpha) H_2^{-3}(\alpha) d\alpha;$$

$$J_1(\alpha_1) = \int_0^{\frac{\alpha_1}{2}} H_1(\alpha) H_2^{-1}(\alpha) d\alpha; \quad J_3(\alpha_1) = \int_0^{\frac{\alpha_1}{2}} H_1(\alpha) H(\alpha) H_2^{-5}(\alpha) d\alpha;$$
(3.5)

а через  $H_i(\alpha)$  обозначаются зависимости

$$H(\alpha) = 1 + \psi^2 - 2\psi \cos 2\alpha; \quad H_1(\alpha) = \psi - \cos 2\alpha; \quad H_2(\alpha) = \frac{2\psi - \sin 2\alpha}{2 \sin \alpha}.$$
(3.6)

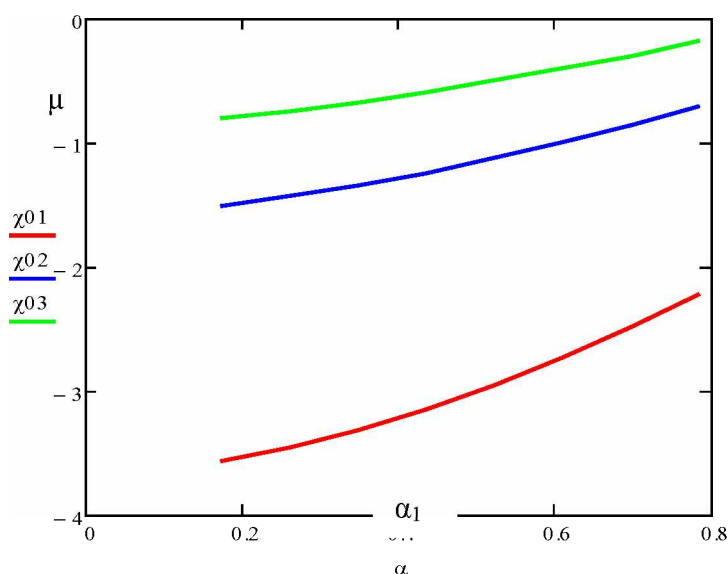


Рис.2. Графики зависимости параметра  $\mu$  от  $\alpha_1$  при  $\chi$

Решение уравнения (3.2) осуществлено численно.

На рис.2 приведены графики зависимости параметра  $\mu$  от угла захвата полосы  $\alpha_1$  при различных значениях  $\chi$ .

Расчеты сделаны для сплава АМГ5 при  $\beta = -0.04957; m_0 = 0.3333$ .

Построенные кривые обнаруживают тенденцию к уменьшению при возрастании угла  $\alpha_1$ .

Перейдем теперь к первой формуле (3.1), подставив в него выражение для радиального напряжения (2.7) при  $\rho = \rho_1$ .

Воспользовавшись принятыми обозначениями (3.3)...(3.6) и учитывая, что  $\rho_2 = (1 - \Delta)\rho_1$ , приходим к следующему трансцендентному уравнению

$$A_0(\alpha_1) + A_0^*(\alpha_1) \ln \sqrt{\frac{\mu}{\mu_1}} + A_1(\alpha_1)\mu_1 + A_2(\alpha_1)\mu_1^2 + A_3(\alpha_1)\mu^3 = 0. \quad (3.7)$$

Здесь

$$\mu = \frac{\nu_1 \bar{\Psi}}{h_1(1 - \Lambda)^2}, \quad (3.8)$$

а коэффициенты при  $\mu_1$  определяются интегралами

$$\begin{aligned} A_0(\alpha_1) &= -2\sqrt{3}(1 - m_0 - \beta)J_0(\alpha_1) - 4(3m_0 + \beta)\mu[R_2(\alpha_1) + J_1(\alpha_1)] + \\ &+ 2\sqrt{3}m_0\mu^2[R_3(\alpha_1) + 4J_2(\alpha_1)] - \frac{8}{9}m_0\mu^3[R_4(\alpha_1) + 6J_3(\alpha_1)]; \\ A_0^*(\alpha_1) &= 2\sqrt{3}(1 - m_0 - \beta)R_1(\alpha_1); \\ A_1(\alpha_1) &= (3m_0 + \beta)R_2(\alpha_1); \\ A_2(\alpha_1) &= -2\sqrt{3}m_0R_3(\alpha_1); \\ A_3(\alpha_1) &= \frac{8}{9}m_0R_4(\alpha_1); \end{aligned} \quad (3.9)$$

причем

$$\begin{aligned} R_1(\alpha_1) &= \int_0^{\frac{\alpha_1}{2}} \psi H^{-2}(\alpha) H_2(\alpha) \sin^2 2\alpha d\alpha - \int_0^{\frac{\alpha_1}{2}} H_3(\alpha) H^{-2}(\alpha) H_2(\alpha) d\alpha; \\ R_2(\alpha_1) &= \int_0^{\frac{\alpha_1}{2}} H_3(\alpha) H_2^{-1}(\alpha) d\alpha; \\ R_3(\alpha_1) &= \int_0^{\frac{\alpha_1}{2}} \psi H^{-2}(\alpha) H_2^{-3}(\alpha) \sin^2 2\alpha d\alpha + H_3(\alpha) H^{\frac{1}{2}}(\alpha) H_2^{-3}(\alpha) d\alpha; \\ R_4(\alpha_1) &= \int_0^{\frac{\alpha_1}{2}} H(\alpha) H_3(\alpha) H_2^{-5}(\alpha) d\alpha + 2 \int_0^{\frac{\alpha_1}{2}} \psi H_2^{-5}(\alpha) \sin^2 2\alpha d\alpha; \end{aligned} \quad (3.10)$$

Здесь  $H(\alpha), H_1(\alpha), H_2(\alpha)$  определяются формулами (3.6), а

$$H_3(\alpha) = 2 \cos 2\alpha - \psi. \quad (3.11)$$

Несложно усмотреть связь между параметрами  $\mu$  и  $\mu_1$ , которая может быть записана так

$$\mu = (1 - \Delta)^2 \mu_1. \quad (3.12)$$

При известных значениях  $\mu$  решение (3.7) не может иметь любые корни, а должно подчиняться условию (3.12). иными словами, обжатие полосы зависит от физико-математических и геометрических характеристик процесса прокатки, включая условие на контакте прокатываемой полосы и валков.

#### Литература

1. Соколовский В.В. Теория пластичности. – М: Высшая школа, 1969.- 608с.
2. Малинин Н.Н. Технологические задачи пластичности и ползучести. – М.: Высшая школа, 1979.-119с.

3. Рудской А.И., Рудаев Я.И. Механика динамической сверхпластичности алюминиевых сплавов. – СПб.: Наука. – 218с.
4. Кийко И.А. Пластическое течение металлов/ Научные основы прогрессивной техники и технологий. – М.: Машиностроение, 1985. – 105-133с.
5. Субботина Е.А. «Теория продольной прокатки алюминиевого листа в термомеханических условиях сверхпластичности» // Современные проблемы механики сплошных сред. – Бишкек, 2013, Вып. 17 с. 233 – 245.

УДК 539.3

### РЕШЕНИЕ ЗАДАЧИ ОБ ИЗГИБЕ ГИБКОЙ УПРУГОЙ КОЛЬЦЕВОЙ ПЛАСТИНЫ

Тюреходжаев А.Н., Кырыкбаев Б.Ж.

Казахский национальный технический университет имени К.И.Сатпаева,  
Алматы, Республика Казахстан E-mail: Tyurekhodja @ ntu. kz

### SOLUTION OF THE TASK ABOUT BENDING OF FLEXIBLE CIRCLE PLATE

Tyurekhodjaev A.N., Kyrykbaev B. Zh ,

Kazakh National Technical University named after Kanysh I. Satpayev,  
Almaty, Republic of Kazakhstan E-mail: Tyurekhodja @ ntu. kz

В работе методом частичной дискретизации дифференциальных уравнений построено аналитическое решение задачи об изгибе гибкой кольцевой упругой пластины, описывающейся нелинейной системой дифференциальных уравнений. Получены закономерности изменения прогиба, угла поворота, напряжений и изгибающих моментов.

В работе рассматриваются гибкие пластины, которые имеют широкие практические приложения в современном машиностроении, атомных реакторах, самолетостроении, моторостроении, судостроении, приборостроении и т.д. Осесимметричный изгиб круглой гибкой упругой пластины описывается нелинейной системой дифференциальных уравнений, аналитическое решение которой представляет значительные математические трудности. В этом случае является целесообразным применение метода частичной дискретизации дифференциальных уравнений.

Рассмотрим гибкую кольцевую пластину постоянной толщины  $h$ , подвергающуюся действию распределенной по круговой полосе пластины нагрузки интенсивности  $q(r)$ .

Основная система дифференциальных уравнений для круглой гибкой пластины имеет следующий вид [1]

$$\begin{aligned} D \frac{d}{dr} (\nabla^2 w) &= \Psi + \frac{h}{r} \frac{d\Phi}{dr} \frac{dw}{dr}, \\ \frac{d}{dr} (\nabla^2 \Phi) &= -\frac{E}{2r} \left( \frac{dw}{dr} \right)^2, \end{aligned} \quad (1)$$

где  $\nabla^2 = \frac{1}{r} \frac{d}{dr} \left( r \frac{d}{dr} \right)$ ,  $\Psi = \frac{1}{r} \int_0^r q(r) [H(r-r_c) - H(r-r_d)] r dr$  – функция нагрузки, распределенная по круговой полосе с радиусами  $r_c$  и  $r_d$ ,  $H(r-r_c)$  и  $H(r-r_d)$  – единичные функции Хевисайда,

$\Phi$  – функция напряжения, введенная выражениями  $\sigma_r = \frac{1}{r} \frac{d\Phi}{dr}$  и  $\sigma_\theta = \frac{d^2\Phi}{dr^2}$ , соответственно радиальное и тангенциальное напряжения,  $w$  – прогиб,  $E$  – модуль упругости,  $D = Eh^3/12(1-\mu^2)$  – жесткость пластины,  $\mu$  – коэффициент Пуассона.

Пользуясь методом частичной дискретизации дифференциальных уравнений А.Н.Тюреходжаева [2], второе уравнение системы (1) приводим к виду

$$\frac{d^3\Phi}{dr^3} + \frac{1}{r} \frac{d^2\Phi}{dr^2} - \frac{1}{r^2} \frac{d\Phi}{dr} = -\frac{E}{4r} \sum_{k=1}^n (r_k + r_{k+1}) \left\{ \left[ \frac{dw(r_k)}{dr} \right]^2 \delta(r-r_k) - \left[ \frac{dw(r_{k+1})}{dr} \right]^2 \delta(r-r_{k+1}) \right\}, \quad (2)$$

3. Рудской А.И., Рудаев Я.И. Механика динамической сверхпластичности алюминиевых сплавов. – СПб.: Наука. – 218с.

4. Кийко И.А. Пластическое течение металлов/ Научные основы прогрессивной техники и технологий. – М.: Машиностроение, 1985. – 105-133с.

5. Субботина Е.А. «Теория продольной прокатки алюминиевого листа в термомеханических условиях сверхпластичности» // Современные проблемы механики сплошных сред. – Бишкек, 2013, Вып.17 с.233 – 245.